

# استخراج دسته منحنیهای شدت - مدت - فراوانی - مساحت (IDFA) برای شهر مشهد

\*بیژن قهرمان\*

دانشکده کشاورزی، دانشگاه فردوسی مشهد

(دریافت مقاله: ۱۳۷۶/۸/۶ - دریافت نسخه‌نهایی: ۱۳۷۶/۱۱/۱)

چکیده - برای طراحی کلیه سازه‌های آبی، دانستن مجموعه‌ای از اطلاعات مربوط به بارندگی بروزی سطح مشخصی ضروری است. تعیین ارتفاع - سطح - تداوم (DAD) بارشهای شدید همواره مورد توجه متخصصان آبشناسی بوده است. بارش شدید ۱۶ خرداد ۱۳۷۱ باعث تلفات زیادی در سطح شهر مشهد وحومه شد. چهار ایستگاه توزیع زمانی و ۱۲۹ ایستگاه مقدار این بارش را به ثبت رسانیده‌اند. دو کانون بارش مستقل واقع در دانشکده کشاورزی (با ۵۰ میلیمتر) و سیلو گندم (با ۵۳ میلیمتر) قابل تشخیص است. منحنیهای ارتفاع - سطح - تداوم برای این بارش در فواصل زمانی یک ربع استخراج و ترسیم شد. براساس معادله هورتن، الگوی ریاضی توزیع مکانی بارش فوق تعیین شد. منحنیهای شدت - مدت - فراوانی (IDF) برای ایستگاه فرودگاه استخراج و با منحنیهای نظری در ایستگاه‌های باران سنج ثبات دیگر (دانشکده کشاورزی و سازمان آب) مقایسه شد. در غیاب یک توپوگرافی نامنظم و با استفاده از شبکه تیسن، منحنیهای IDF ناحیه‌ای شهر مشهد استخراج شد. دسته منحنیهای شدت - مدت - فراوانی مساحت (IDFA)، به عنوان مفهومی جدید، در این برسی معرفی شد و براساس شدیدترین بارش نازله (۱۳۷۱/۳/۱۶) و دسته منحنیهای IDF ناحیه‌ای محاسبه وارائه شد. چنین منحنیهایی می‌توانند مورد استفاده طراحان سازه‌های آبی در سطح شهر مشهد وحومه آن قرار گیرند.

## Derivation of Intensity-Duration-Frequency-Area (IDFA) Curves for Mashhad City

B. Ghahreman

Department of Agriculture, Ferdowsi University of Mashhad

**ABSTRACT-** A knowledge of rainfall distribution over a finite area is needed for small hydraulic structures design. Hydrologists have always been concerned about Depth- Area- Duration (DAD) for a specific storm in a watershed. An intense storm occurred on June 6, 1992 which claimed some lives in parts of Mashhad, Khorasan Province, Iran. Data of rainfall depth at 29 raingauge stations around the city and its suburbs were gathered. There also exist three automatic raingauges at Mashhad airport, the College of Agriculture, and Khorasan Water Authority and one at Toroq Dam in Mashhad suburb. A

\* مری

survey of hyetographs for June 6, 1992 of these stations revealed that the airport raingauge did not work well while dimensionless mass curves for other raingauges were quite similar. Two rain centers at the College of Agriculture (with 50 mm rainfall) and Wheat Silage (with 53 mm rainfall) were detected. The DAD relationships for this storm were derived. Intensity- Duration- Frequency (IDF) curves for the airport station were derived and were compared with those of the College of Agriculture and Khorasan Water Authority. In the absence of an abnormal topography, the Theissen method was utilized for deriving a regional IDF for Mashhad city. Intensity- Duration- Frequency- Area (IDFA) curves, a new concept in hydrometeorology, has been initiated for the first time for Mashhad. Combination of regional IDF with DAD of the most intense storm in Mashhad was a key to represent such a new concept.

## ۱ - مقدمه

قدیمیترین مرجع در زمینه DAD، گزارش اداره هواشناسی آمریکا در سال ۱۹۴۶ است [۱]. در این گزارش، دستورالعملی برای تهیه DAD ناشی از یک رگبار ببروی مساحت معینی ارائه شده است. علاوه بر نشریه سازمان جهانی هواشناسی [۲]، کتب معتبر هیدرولوژی نیز این دستورالعمل را همراه با توضیحات کافی ارائه کرده‌اند. در غیاب حداقل یک دستگاه باران‌سنج ثبات، مترجم [۳] برای بارانهای شدید چندروزه در هندوستان روش دیگری را پیشنهاد کرده است. مطالعات انجام شده در زمینه DAD عمدهاً به منظور کاربرد روش‌های فوق برای باران خاص در منطقه تحت مطالعه است و عموماً جنبه کاربردی دارد. مطالعات انجام شده در ایران در این زمینه غالباً توسط ارگانهای دولتی [۴] و یا مهندسان مشاور به طور مثال [۵] برای به کارگیری نتایج آن در طراحی تاسیسات آبی صورت می‌پذیرد. به دلیل تغییرات زمانی و مکانی رگبارها، که عمدها از جبهه مولد باران ناشی می‌شود، نتایج مطالعه رگبارها در سایر نقاط و حتی در سایر زمانها کمکی به تهیه DAD یک رگبار خاص تحت مطالعه نمی‌کند.

رگبار شدید مورخ ۱۳۷۱/۳/۱۶ در شهر مشهد باعث وقوع سیلاب در سطح شهر و سه منطقه نجفی، چهارچشم و نورده شد. مرکز این رگبار در ارتفاعات جنوب‌غربی مشهد یعنی کوه آب و برق، نورده و نجفی بوده است. در جریان سیل ایجاد شده از این رگبار که در نوع خود بی‌نظیر بود، ۲۵ نفر جان خود را ازدست دادند،

برای طراحی برخی از سازه‌های آبی (مثلا شبکه‌های دفع آبهای سطحی شهرها)، دانستن مجموعه‌ای از اطلاعات مربوط به بارندگی ببروی سطح مشخصی ضروری است. از آنجایی که تغییرات بارندگی در دو بعد زمان و مکان به مقدار زیادی نوسان می‌کند، لذا بررسی این تغییرات تاثیر مهمی ببروی ابعاد سازه موردنظر خواهد داشت. در حوزه‌های آبریز شهری به دلیل وجود پوشش تقریباً نفوذ ناپذیر سطح خیابانها و پشت‌بامها، قسمت اعظم بارندگی نازله منجر به ایجاد آب روان می‌شود که بایستی توسط کانال‌ها و جویهای مناسب سریعاً از داخل شهر جمع‌آوری و به خارج از آن منتقل شود. لذا دانستن دقیق میزان بارندگی و یا شدیدترین مقدار آن، که همان بارش طرح است، کمک مهمی در طراحی بهینه مقطع این کانال‌های انتقال آب می‌کند. تعیین این مهم در روش ارتفاع- سطح- تداوم رگبارها گنجانیده شده است.

تعیین ارتفاع- سطح- تداوم بارش (DAD) از مسایلی است که همواره متخخصان آبشناسی در ارتباط با رگبارهای یک حوزه آبریز به آن توجه می‌کنند. به طور معمول این اطلاعات به صورت ارتفاع بارش در یک سطح معین و برای مدت زمان بخصوصی از رگبارها در قالب جدول یا منحنیهایی بیان می‌شود که به کمک آنها می‌توان حداقل مقدار بارش در سطح موردنظر را برای تداوم خاصی از بارش به دست آورد.

براینکه مساحت تحت پوشش این دو قسمت نیز به طور عمدۀ با یکدیگر متفاوت است.

از طرف دیگر دسته منحنیهای DAD صرفا برای یک رگبار خاص تهیه و ترسیم می شود. این منحنیها فاقد بعد فراوانی اند. گرچه مفهوم نسبتهای تصحیح مقدار- مساحت در فراوانیهای مختلف [۱۱] و مفهوم منحنیهای "حداکثر" عمق- مساحت- تداوم [۱۲] تابه حال در سطح جهان پیشنهاد شده است، ولی چنین منحنیهایی برای فراوانی های مختلف ترسیم نشده اند.

دسته منحنیهای IDF برای سه نقطه از شهر مشهد (دانشکده کشاورزی، فرودگاه و سازمان آب) قابل ترسیم است. هدف از این بررسی امکان اضافه کردن بعد فراوانی به دسته منحنیهای عمق- مساحت- تداوم، با تأکید بر رگبار شدید ۱۶ خرداد ۱۳۷۱ مشهد، است.

## ۲- مواد و روشها

اساس انجام این طرح، آمار و اطلاعات بارندگی در ایستگاههای باران سنجی و همچنین برگه های باران نگاری در ایستگاههای باران سنجی ثبات است. همچنین موقعیت نسبی قرارگیری ایستگاههای فوق الذکر به منظور ترسیم نقشه هم مقدار بارش موردنیاز است. زمان شروع و خاتمه باران و تقویم آماربرداری به منظور هماهنگ کردن آمار بارندگی در ایستگاههای باران سنجی که تحت نظرت سازمانهای مختلف است ضروری است.

بیست و نه ایستگاه باران سنجی در سطح شهر مشهد و حومه مقدار باران نازله در تاریخ ۱۶ خرداد ۱۳۷۱ را ثبت کرده اند. از این میان ۱۹ ایستگاه تحت نظرت سازمان هواشناسی کشور و بقیه تحت نظرت شرکت سهامی آب منطقه ای خراسان قرار دارند. پس از حصول از صحت آمار [۱۳] و تصحیح تقویم یادداشت برداری بین ایستگاههای سینوپتیک و غیرسینوپتیک [۹]، آمار بارندگی روز ۱۶/۳/۱۳۷۱ به صورت جدول (۱) ارائه شده است.

به منظور تهیه منحنی بدون بعد بارش، بایستی مقدار تجمعی بارندگی در فواصل زمانی مختلف استخراج شود و سپس زمان بدون بعد به صورت زمان واقعی تقسیم بر کل مدت بارندگی و ارتفاع بارش بدون بعد نیز بصورت حاصل تقسیم بارش تجمعی در هر زمان خاص بر کل ارتفاع بارندگی در نظر گرفته شود. مقایسه چنین

۱۰۰ واحد مسکونی تخریب شد، پل ارتباطی راه آهن مشهد- تهران آسیب دید، تردد قطارها متوقف شد و بنابر اظهار شهردار مشهد ۲۰۰ مورد آب افتادگی در مناطق مسکونی قدیمی شهر گزارش شده است. لازم به ذکر است که واحدهای مسکونی تخریب شده در دامنه کوهها و مناطق شیبدار و حاشیه رودخانه های قدیمی قرار دارند و زمینهای این مناطق ظرف سالهای اخیر توسط سازمان زمین شهری به مردم واگذار شده است [۶].

اسحاقیان [۷] رگبار ۱۶ خرداد ۱۳۷۱ مشهد در ایستگاه سازمان آب را مورد بررسی قرار داده است. نامبرده به نقل از اداره هواشناسی خراسان مرکز این رگبار را در ارتفاعات جنوب غربی مشهد و به میزان ۵۰ میلیمتر گزارش کرده است. وی بدون بررسی توزیع زمانی رگبار در سایر ایستگاههای ثبات، و خصوصا ایستگاه دانشکده کشاورزی که در فاصله کمی نسبت به این حوزه ها قرار دارد، برای انتقال رگبار از محل ایستگاه باران سنجی ثبات سازمان آب به حوزه های آبریز کال نجفی، چهارچشم و کال نودره به منظور براورد سیلان این حوزه ها صرفاً از "اعمال ضرایبی مناسب" استفاده کرده است. نامبرده فراوانی سیلانهای حداکثر لحظه ای محاسبه شده را بر اساس انطباق شدت بارندگی بر توزیع فیشر منطبق بر دوره بازگشت ۲۵ سال گزارش کرد. تحلیل رگبار ۱۶ خرداد ۱۳۷۱ مشهد به طور کلاسیک توسط قهرمان و رضائی پژند [۸] انجام شده است. نامبردها نشان دادند که باران سنجی ثبات واقع در فرودگاه مشهد قادر به ثبت کامل رگبار نبوده است و بنابراین عددی را برای آن ایستگاه در مطالعات خود منظور نکرده اند، در حالی که مطالعات قهرمان [۹] نشان داد که شبیه سازی باران فرودگاه از روی آمار سایر باران سنجهای منطقه میسر و منطقی است.

تهیه منحنیهای شدت- مدت- فراوانی (IDF) برای یک ایستگاه خاص مورد مطالعه افراد بسیاری بوده است [۱۰]. این منحنیها صرفا نقطه ای بوده و هیچ گونه اطلاعاتی در مورد نحوه توزیع آن برروی یک مساحت معین را ننمی دهد. در صورتی که نیازهای مهندسان مشاور و دستگاههای اجرایی در مبحث هیدرولوژی شهری و تاسیسات کوچک آبی دانستن توزیع این منحنیها در مساحت معینی نیز هست. همچنین غالبا به دلیل اهمیت بیشتر مراکز شهرها نسبت به نواحی کم جمعیت تر حومه آنها، لازم است که دوره بازگشت طراحی در این مناطق بیشتر از مناطق حومه باشد. مضاف

جدول ۱- آمار بارندگی ۷۱/۳/۱۶ در ایستگاههای انتخابی براساس تقویم مشترک

ردیف	ایستگاه	باران (میلیمتر)	ردیف	ایستگاه	باران (میلیمتر)
۱	آب و برق	۴۱	شهر طوس	۱۸	۱۹/۱
۲	النگ اسدی	۱۲	شهرک طالقانی	۱۹	۳۴/۶
۳	امام تقی	۱۷/۵	طرق کرطیان	۲۰	۳۳
۴	امیر آباد مشهد	۷	غار مغان	۲۱	۱۱/۵
۵	اندرخ	۱۰	فارمد	۲۲	۰
۶	پارک وحدت	۴۸/۳	فریزی	۲۳	۶
۷	جاغرق	۲۷	کنویس	۲۴	۰
۸	حصار	۳۳	گلشن (شهر جدید)	۲۵	۳۳/۵
۹	دامپوری عباس آباد	۲۸	گلمنکان	۲۶	۴/۳
۱۰	دانشکده کشاورزی	۵۰	مشهد (فروندگاه)	۲۷	۲۲/۵
۱۱	دولت آباد	۸	موشنگ	۲۸	۶
۱۲	دهنه اخلمند	۰	میامی لنگرک	۲۹	۳/۵
۱۳	سازمان آب	۳۱/۷			
۱۴	سد طرق	۲۴/۱			
۱۵	سرآسیاب زشك	۱۰/۵			
۱۶	سنگ بست	۹			
۱۷	سیلوی گندم	۵۳			

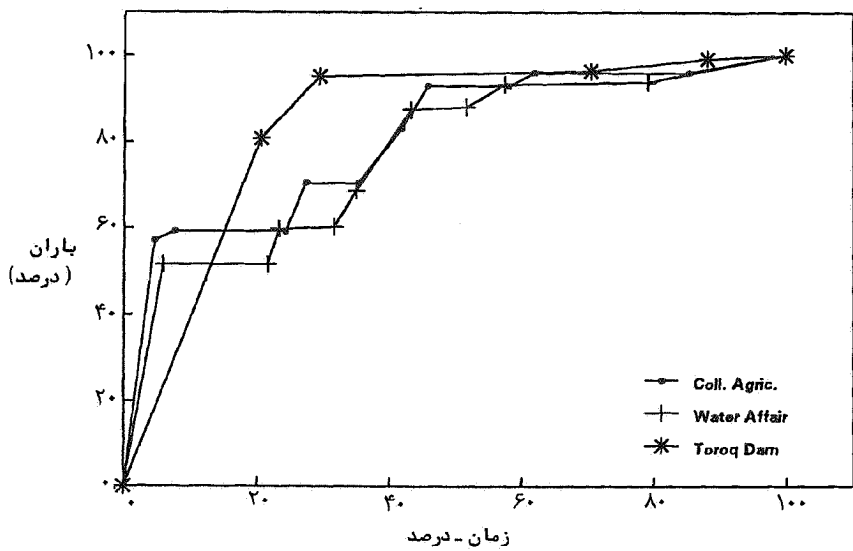
بارندگی تقریباً یکسانی را ثبت کردند. شکل (۱) منحنیهای مجموع بدون بعد بارندگی ۱۶ خرداد ۱۳۷۱ را نشان می‌دهد. شدیدترین بخش رگبار در یک دوره زمانی ۱۵ دقیقه‌ای در ایستگاه دانشکده کشاورزی وبا شدت ۱۱۲ میلیمتر در ساعت قابل استخراج است. مقایسه تیپ بارندگی در روز تحت مطالعه با سایر بارانهای ثبت شده مشخص می‌سازد که بارانهای فصل سرد سال (آذر لغایت اسفند) و اوایل فروردین از توزیع زمانی تقریباً یکنواختی تبعیت می‌کنند، درحالی که تیپ غالب بارشهای بهاره در اردیبهشت و خردادماه (وخصوصاً ۱۶ خرداد ۱۳۷۱) به سمتی میل می‌کنند که بخش عمده باران در زمانهای اولیه بارندگی نازل می‌شود. جزیيات بیشتر توسط قهرمان [۹] ارائه شده است.

منحنیهایی شباهت و یا عدم شباهت یک واقعه بارش خاص در ایستگاههای مختلف و یا بارشهای باریده شده قبلی با یک بارندگی مفروض را تعیین می‌کند. تعیین دوره‌بازگشت یک بارش، با مقایسه مقدار (ویا شدت) بارندگی با منحنیهای مقدار (ویا شدت)- مدت- فراوانی میسر است.

### ۳- بحث و نتایج

#### ۱- توزیع زمانی بارش

ازین ۲۹ ایستگاه تحت مطالعه، چهار ایستگاه فروندگاه مشهد و دانشکده کشاورزی (زیرنظر سازمان هواشناسی کشور) و سازمان آب و سد طرق (زیرنظر شرکت سهامی آب منطقه‌ای خراسان) مجهز به باران‌سنج ثبات‌اند. درحالی که ایستگاه فروندگاه مشهد موفق به ثبت کامل رگبار نشده است [۹]، سه ایستگاه ثبات باقیمانده، تیپ



شکل ۱- منحنیهای مجموع بدون بعد بارندگی ۱۶ خرداد در سه ایستگاه ثبات

فروندگاه مشهد استفاده نکرده بودند، ولی مقدار بارندگی حدود ۱۹ میلیمتر از شکل ترسیم شده توسط نامبردگان قابل استخراج است. این مقدار با رقم دقیق  $22/5$  میلیمتر [۹] اختلاف قابل ملاحظه‌ای ندارد و بنابراین با توجه به کیفیت آمار این دو شکل همباران (در این بررسی و بررسی قبل) یکسان تلقی می‌شود.

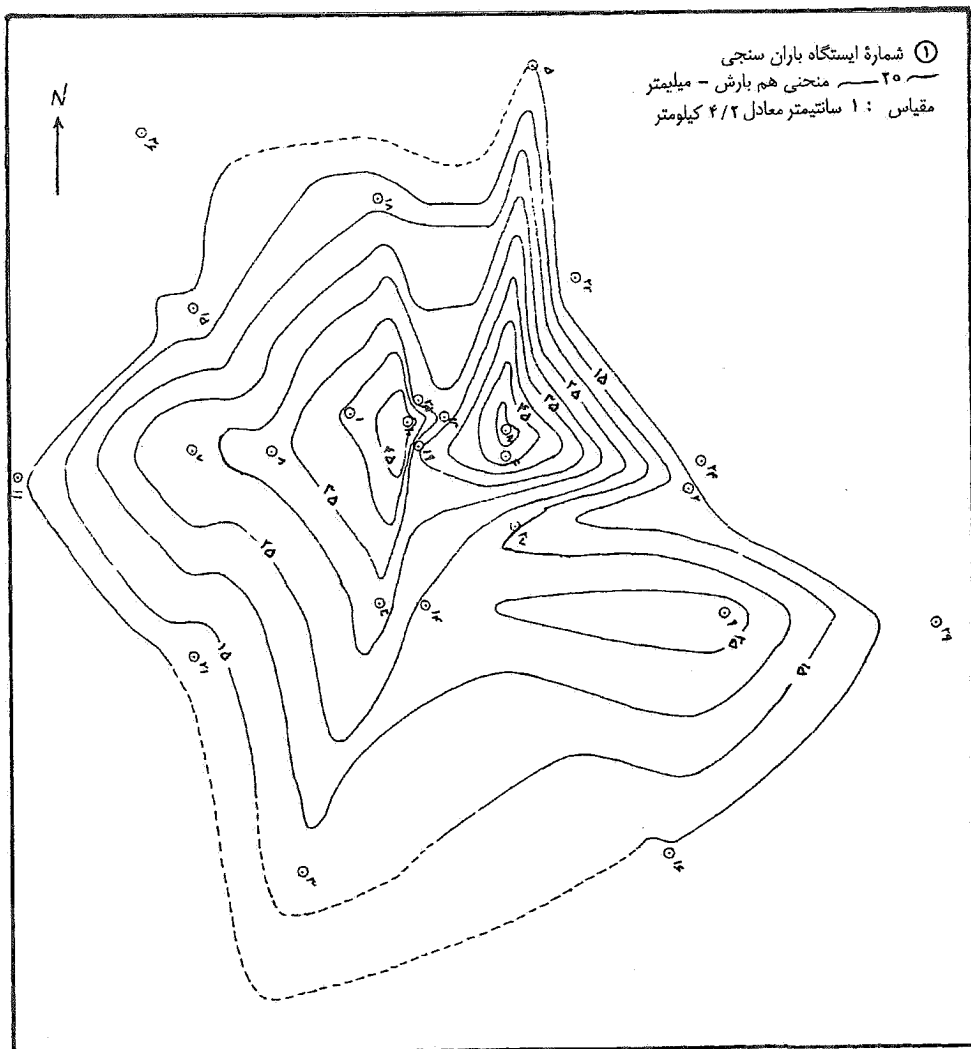
### ۳-۳ منحنیهای ارتفاع-مساحت-مدت

باتوجه به دو کانون مشخص باران در شکل (۲)، می‌توان محدوده تحت پوشش باران را به دو زیرناحیه تقسیم کرد به طوری که هر کانون از یک الگوی توزیع بارش ناشی از ماهیت توزیع زمانی درگرفته شد. براین اساس کانون غربی وابسته به دانشکده کشاورزی وکانون شرقی وابسته به سازمان آب شد. به دلیل بعد فاصله، هیچ‌گونه توجیه منطقی برای منظور کردن کانونی با گردایان کم (عباس آباد در جنوب منطقه) و انتساب آن به باران‌سنجد ثبات سدطرق وجود ندارد. چنانچه باران‌سنجد ثبات فروندگاه موفق به ثبت کامل رگبار می‌شد، مناسبتر بود که این کانون تحت تاثیر الگوی آن ایستگاه قرار می‌گرفت.

در مطالعات کلاسیک تهیه منحنیهای ارتفاع-مساحت-مدت (DAD) در آمریکا، از فواصل زمانی ۶ ساعته استفاده می‌شود. انتخاب این فاصله زمانی برای بارش تحت مطالعه مناسب نیست،

### ۲-۴ توزیع مکانی بارش

با داشتن مختصات جغرافیایی ایستگاه‌های تحت مطالعه، موقعیت نسبی آنها بر روی نقشه با مقیاس مناسب مشخص شد. بدلیل عدم وجود توپوگرافی نامنظم، ترسیم خطوط همباران بین ایستگاه‌های باران سنجد با روش‌های متداول امکان‌پذیر است، شکل (۲). با توجه به نمودار بالا دیده می‌شود که بارندگی در دوکانون مجزا بموقعیت پیوسته است. بنابر آمار و اطلاعات موجود، این دوکانون در سیلوی گندم (با  $53$  میلیمتر) و دانشکده کشاورزی (با  $50$  میلیمتر) است. پدیده دوکانونی ناشی از ماهیت توزیع زمانی خاص این رگبار است. مشاهدات محلی در زمان ریزش بخش شدید رگبار (حدود ساعت ۳ بامداد)، چرخش سیکلون وار بارش را تایید می‌کند. شکل (۲) همچنین نشان می‌دهد که در ایستگاه دامپوری عباس آباد باران به میزان  $28$  میلیمتر باریده است ولی گردایان بارندگی در مرکز این ایستگاه نسبت به ایستگاه‌های مجاور کم است به طوری که نمی‌توان آنرا به عنوان یک کانون (مشابه دانشکده کشاورزی و سیلوی گندم) محسوب کرد در حالی که قهرمان و رضائی پژند [۸] از سه کانون در مطالعات خود استفاده کرده بودند. اضافه کردن آمار بارندگی فروندگاه مشهد به لیست ایستگاهها، شکل خطوط همباران را نسبت به مطالعات قبلی [۸] تغییر می‌دهد. ولی مقایسه شکل جدید با شکل خطوط همباران مطالعه قبلی [۸] مشخص می‌سازد که گرچه قهرمان و رضائی پژند [۸] از آمار بارندگی



شکل ۲ - خطوط هم بارش باران بارش ۷۱/۳/۱۶ مشهد

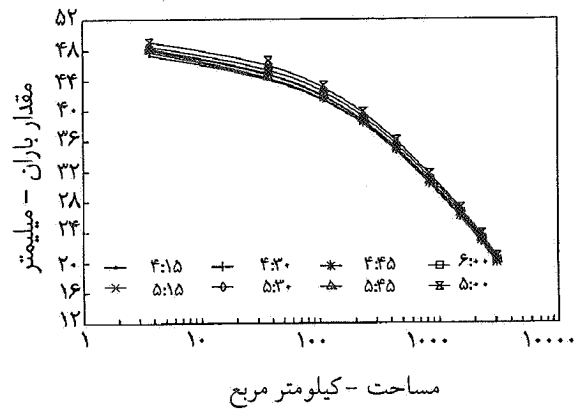
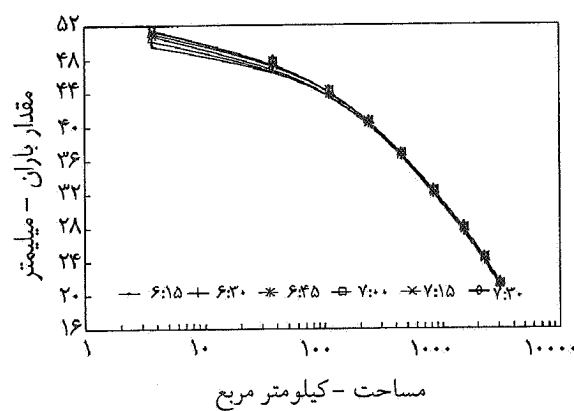
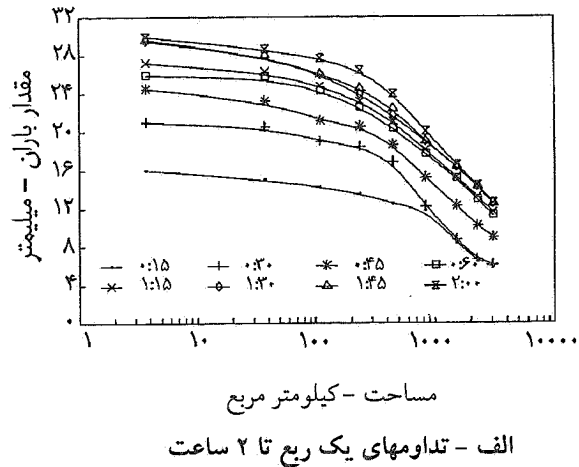
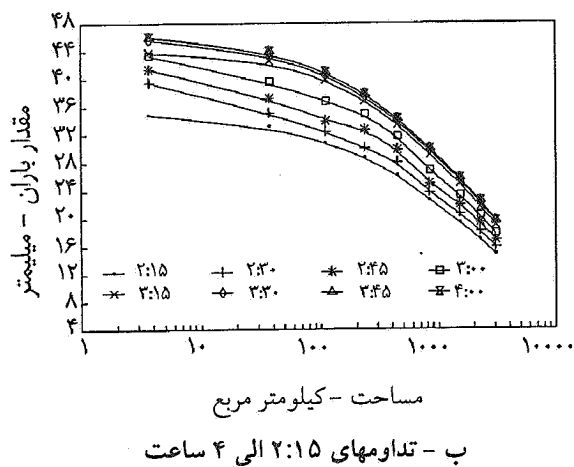
پوشش (کیلومتر مربع)،  $\bar{P}$  متوسط بارش دراین مساحت (میلیمتر) و  $K$  و  $n$  ضرایب ثابت‌اند. شکل (۲) توزیع مکانی بارندگی را حول دو کانون داشتکدهٔ کشاورزی و سیلوی گندم نشان می‌دهد. خطوط همارتفاع بارندگی حول هر کانون به طور کامل مستقل از کانون دیگر نیست. به همین دلیل با تشخیص روند خطوط، تاثیر کانون دیگر بر روی توزیع مکانی بارش حول کانون مورد نظر حذف و خطوط هم‌مقدار بارش حول هر کانون مستقل ترسیم شد، شکل (۴). با اندازه‌گیری مساحت بین هردو خط هم‌مقدار متواالی و برآورد متوسط بارش در روی هر مساحت معین، امکان برآورد پارامترهای ثابت  $K$  و  $n$  (معادله ۱) برای هر کانون بارندگی توسط اصل کمترین مربعات فراهم می‌شود. جدول (۲)

زیرا کل مدت تداوم بارش در حدود ۷/۵ ساعت است. بنابراین فواصل زمانی یکربع درنظر گرفته شد تا برای مطالعات زهکشی شهری کارایی بیشتری حاصل شود. نتیجه حاصله در شکل (۳) ترسیم شده است.

۳-۴ تعیین الگوی ریاضی توزیع مکانی بارندگی هورتون [۱۴]، معادله زیرا پیشنهاد کرده است:

$$\bar{P} = p_0 \cdot e^{-kA^n} \quad (1)$$

که در آن  $P$  ارتفاع بارش در مرکز کانون (میلیمتر)،  $A$  مساحت تحت



شکل ۳- منحنیهای DAD رگبار ۷۱/۳/۱۶ مشهد

جدول ۲- ارزیابی پارامترهای ثابت معادله (۱)

تلفیق کانونها	کانون			تعداد نقاط	ضریب همبستگی
	سیلوی گندم	دانشکده کشاورزی	k		
۰/۰۱۴۹۰	۰/۰۱۱۷۶	۰/۰۱۱۷۶			
۰/۰۱۸۵۴	۰/۶۶۶۶	۰/۰۷۹۴۸	n		
۱۴	۸	۶			
۰/۹۷۱	۰/۹۹۹۸	۰/۹۹۵			

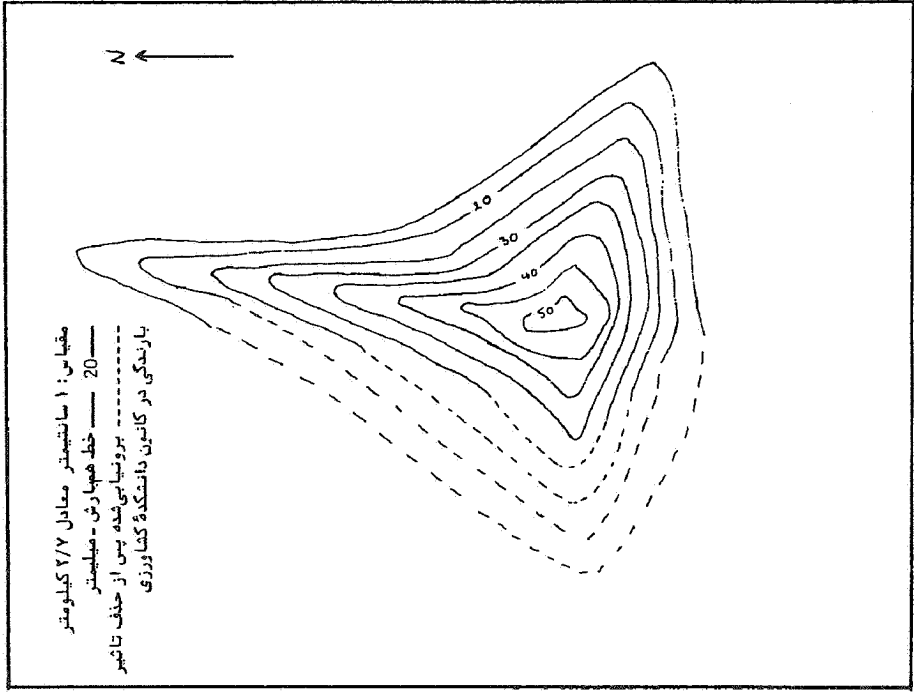
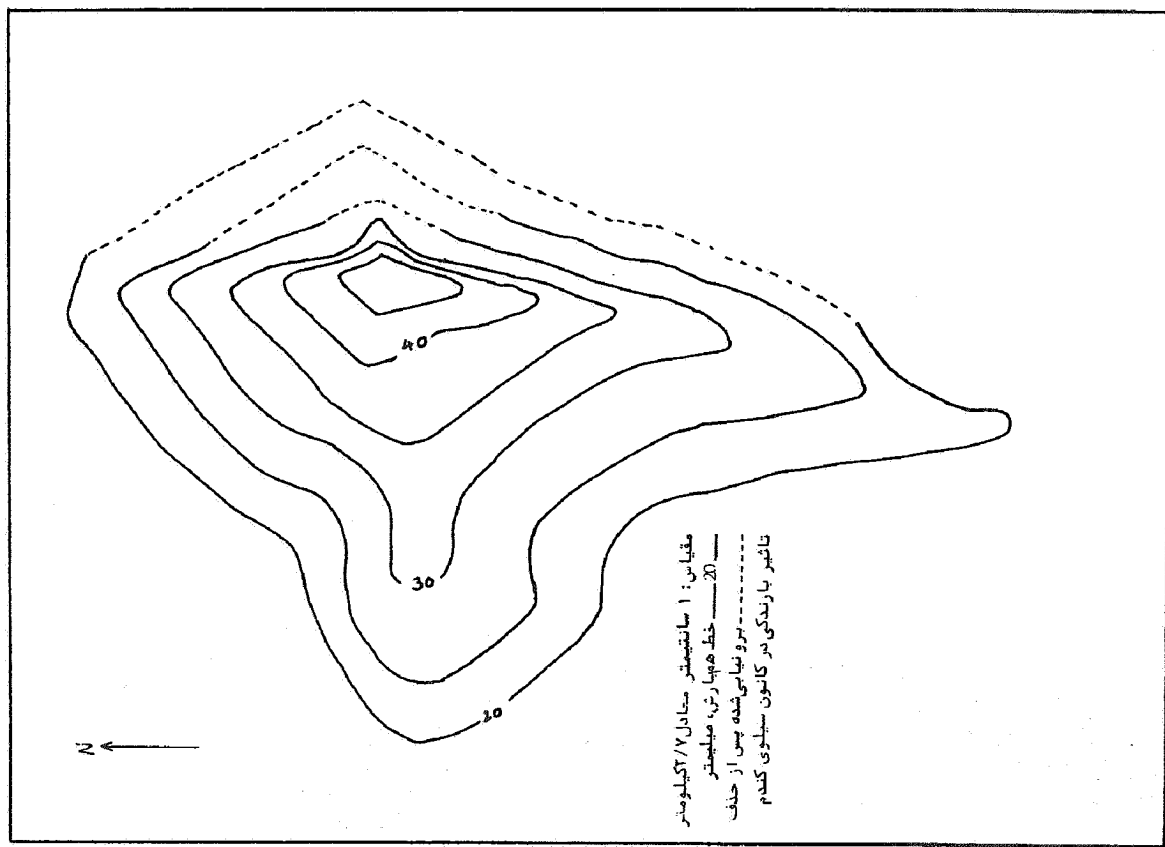
گردیان تغییرات بارندگی قابل مشاهده و اندازه‌گیری است.

۵-۳ منحنیهای شدت-مدت- فراوانی ناحیه‌ای شهر مشهد در سطح شهر مشهد سه ایستگاه باران‌سنج ثبات دارای آمار نسبتاً

نتایج به دست آمده را نشان می‌دهد. بارشهای نقطه‌ای به طور سیستماتیک بر روی مساحتی معادل ۱۰ مایل مربع (۲۵/۶ کیلومتر مربع) اعمال می‌شود و با افزایش مساحت از مقدار متوسط بارش کاسته می‌شود [۱۵]. در حالی که شکل (۴) نشان می‌دهد که حتی برای هر مساحت کوچکی نیز

شکل ۴- خطوط هم بارش مستقل حول کانون مشخص

ب- دانشکده کشاورزی



الف- سیلوی گندم

جدول ۳- مقایسه نسبتهای تصحیح عمق - مساحت در مکانهای مختلف

شیکاگو [۱۱]		مشهد	مساحت مایل مربع
۱۰۰ سال			
۱۰۰ سال	۲ سال		
۰/۹۱	۰/۹۵	۰/۸۴۵	۵۰
۰/۸۷۱	۰/۹۳	۰/۷۴۳	۱۰۰
۰/۸۵۷	۰/۹۱۸	۰/۶۶۱	۱۵۰
۰/۸۴۵	۰/۹۰۰	۰/۵۹۳	۲۰۰
۰/۸۳۵	۰/۸۸۸	۰/۵۳۴	۲۵۰

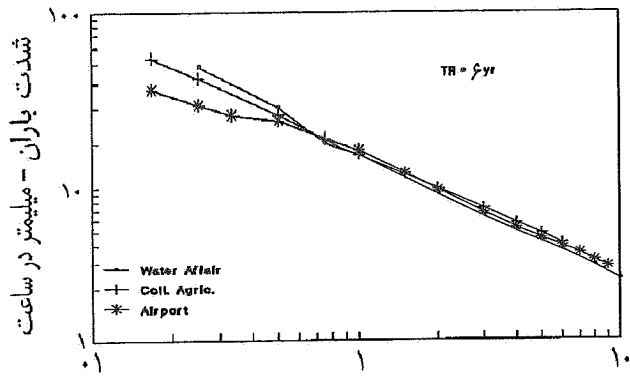
ایستگاه فرودگاه، ملحوظ نشدن آمار این رگبار در تحلیل آمارهای ایستگاه دانشکده کشاورزی و دوره‌های غیر مشترک آماری نیز ممکن است که چنین اختلافی را باعث شوند [۹].

در هر صورت به نظر می‌رسد که آمار و اطلاعات قابل دسترس بادقت تقریباً قابل قبولی تحلیل و گزارش شده‌اند. سه دسته منحنی شدت- مدت- فراوانی بارندگی در سه ایستگاه باران سنجی در مشهد به منظور استخراج یک دسته منحنی IDF معروف شهر، باستانی بایکدیگر تلفیق شوند. در غیاب یک توپوگرافی نامنظم، از شبکهٔ تیسن برای محاسبه درصد تاثیر هر باران سنجی برای کل محدوده بارش استفاده شد. محدوده بارش به طور اختیاری کمترین مقدار منحنی قابل ترسیم توزیع مکانی بارش ۱۶ خرداد ۷۱ (۵ میلیمتر در شکل (۲) در نظر گرفته شد. از این‌رو، سه ایستگاه فرودگاه مشهد، دانشکده کشاورزی و سازمان آب به ترتیب درصدهای در سه ایستگاه ثبات منطقه با این درصد، امکان تهیه دسته منحنیهای IDF ناحیه‌ای شهر مشهد را بر اساس تابع توزیع احتمال گامبل می‌ساخت. با استخراج نسبتهای ثابتی بین شدتهای باران در هر دوره بازگشت و بین دو تابع توزیع احتمال گامبل و گاما، منحنیهای شدت- مدت- فراوانی ناحیه‌ای مشهد بر اساس تابع توزیع احتمال گامای ۲ پارامتری شبیه‌سازی شد، شکل (۶).

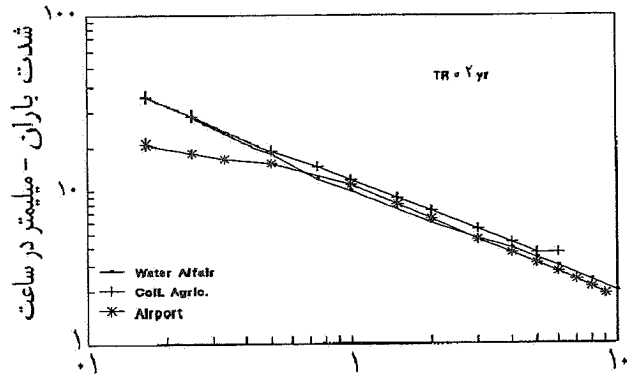
### ۳-۶ دسته منحنیهای شدت- مدت- فراوانی- مساحت (IDFA)

تهیه منحنیهای شدت- مدت- فراوانی (IDF) برای یک ایستگاه خاص مورد مطالعه افراد بسیاری بوده است. این منحنیها صرفاً

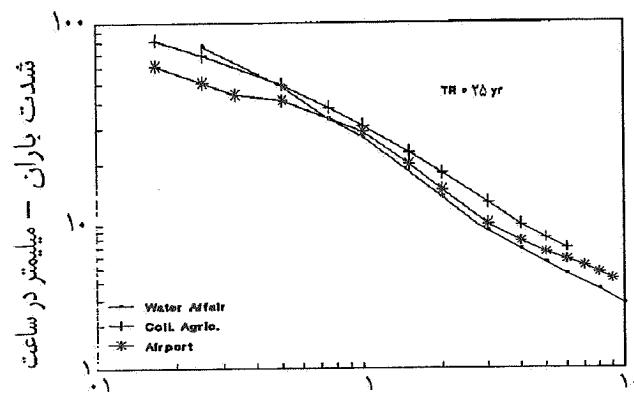
قابل قبول رگبار برای تهیه منحنیهای شدت- مدت- فراوانی هستند. منحنیهای شدت- مدت- فراوانی ایستگاه‌های دانشکده کشاورزی و سازمان آب از روی تابع توزیع احتمال گامبل قبل گزارش شده است [۱۰ و ۱۶]. آمار شدتهای حداکثر سالیانه رگبارهای ایستگاه فرودگاه مشهد نیز توسط سازمان هواشناسی [۱۷] ارائه شده است. گرچه قهرمان و همکاران [۱۸] نشان دادند که استفاده از تابع توزیع احتمال گامبل برای تحلیل رگبارهای مشهد پایه نظری ندارد و این مقادیر از تابع توزیع گامای ۲ پارامتری تبعیت می‌کند، ولی دریک مطالعه منطقه‌ای می‌باشد تنها از یک تابع توزیع احتمال استفاده کرد. در صورتی که اطلاعات خام رگبارهای ایستگاه‌های دانشکده کشاورزی و سازمان آب موجود می‌بود، مناسبتر بود که از تابع توزیع احتمال گامای ۲ پارامتری برای این منظور استفاده شود. ولی محدودیت در تهیه آمار نویسته را مجبور کرد که تابع توزیع احتمال گامبل را برای ادامه بررسی انتخاب کند. شکل (۵) مقایسه منحنیهای IDF بارندگی در ایستگاه فرودگاه مشهد را با نتایج گزارش شده از دو ایستگاه ثبات دیگر نشان می‌دهد. بررسی این شکل مشخص می‌شود که در کلیه دوره‌های بازگشت اختلاف قابل ملاحظه‌ای بین شدتهای باران در ایستگاه فرودگاه پادو ایستگاه دیگر، خصوصاً در مدت‌های تداوم کمتر از یک ساعت، وجود دارد. بازیاد شدن مدت تداوم، از مقدار این اختلاف کاسته می‌شود. اختلاف مشاهده شده (خصوصاً در تداوم‌های کوتاه) می‌تواند ناشی از اختلاف روش‌های مختلف دستی در ایستگاه‌های دانشکده کشاورزی [۱۶] و سازمان آب [۱۰] و اسکنر رایانه‌ای در ایستگاه فرودگاه [۱۷] باشد. نکات مختلف دیگری از قبیل تعطیل موقت ایستگاه سازمان آب، ثبت نشدن کامل رگبار ۱۶ خرداد ۷۱ در



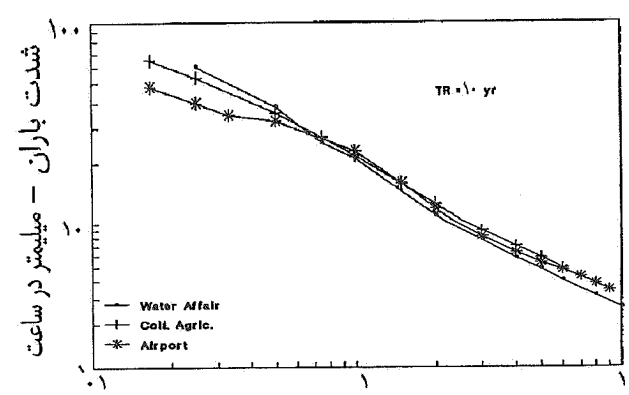
زمان - ساعت



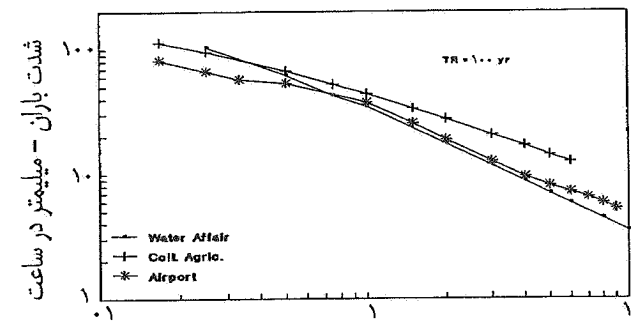
زمان - ساعت



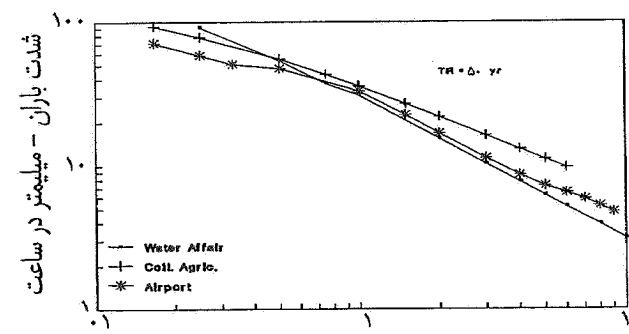
زمان - ساعت



زمان - ساعت

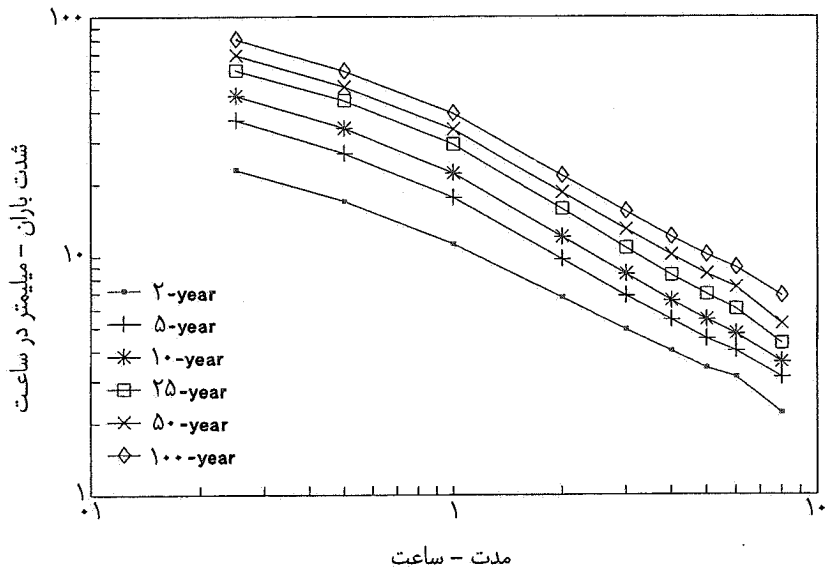


زمان - ساعت



زمان - ساعت

شکل ۵- مقایسه منحنیهای IDF بارندگی در سه ایستگاه ثبات در مشهد (تابع توزیع احتمالی گامبل)

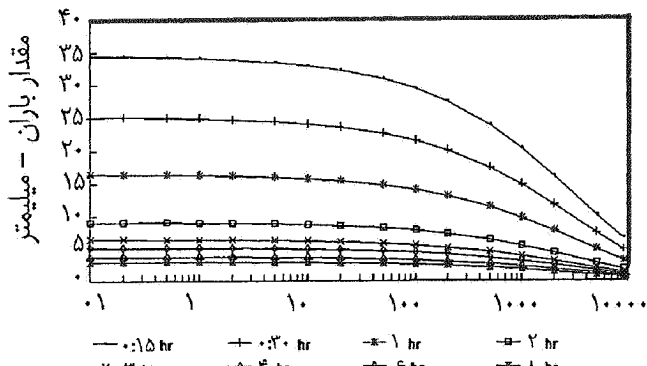


شکل ۶- منحنیهای IDF بارندگی ناحیه شهر مشهد

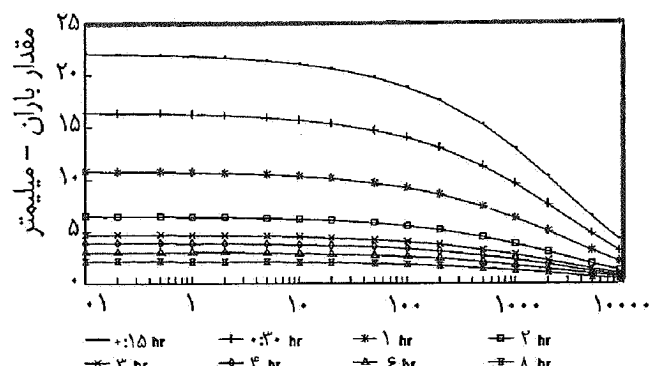
۷/۵ ساعت (زمان ریزش رگبار تحت مطالعه) و برای مساحت‌های متفاوت از منحنیهای ارائه شده توسط نامبردگان (مربوط به ناحیه شهری شیکاگو) استخراج شد. نتایج بدست آمده همراه با اطلاعات مربوط به رگبار ۱۳۷۱/۳/۱۶ مشهد در جدول (۳) ارائه شده است. اعداد مندرج درین جدول مشخص می‌سازد که اولاً بین اعداد مربوط به رگبار تحت مطالعه با نتایج مربوط به ناحیه شهری شیکاگو تفاوت وجود دارد (مایر و زهر [۱۱] به این نکته که این نسبتها نباید در شرایط آب و هوایی متفاوت به کار رود اشاره کرده‌اند) و ثانیاً استفاده نابجا در محدوده وسیع فراوانیهای ۲ تا ۱۰۰ سال تنها موجب ۶/۰۴ درصد خطا می‌شود. این مقدار خطای در مقایسه با خطاهای اندازه‌گیری باران و سایر خطاهای مرتبط در حال حاضر درکشور کاملاً ناچیز تلقی می‌شود و بتنا براین بدون درنظر گرفتن دوره بازگشت می‌توان برای رگبار تحت مطالعه با استخراج این نسبت در هر مساحت دلخواه (از روی معادله ۱) و اعمال آن برروی کلیه نقاط واقع بر دسته منحنیهای IDF، بعد مساحت را به این دسته منحنیها اضافه کرد. واضح است که برای مساحت صفر کیلومترمربعی، این نسبت برابر واحد بوده ولذا منحنیهای IDF در اصل بیانگر توزیع بارش برروی یک نقطه واقع در محل ایستگاه است. دسته منحنیهای فوق برای دورهای بازگشت ۲ الی ۱۰۰ سال در شکل (۷) ارائه شده است. در ارائه این مفهوم مفروضات ذیل مذکور بوده است:

نقشه‌ای بوده و هیچ‌گونه اطلاعاتی درمورد نحوه توزیع آن برروی یک مساحت معین را نمی‌دهد. از طرف دیگر دسته منحنیهای عمق-مساحت-مدت (DAD) صرفا برای یک رگبار خاص تهیه و ترسیم می‌شود. گرچه پارامتر نسبتهای تصحیح مقدار-مساحت رگبار در فراوانیهای مختلف [۱۱] و همچنین مفهوم منحنیهای "حداکثر" عمق-مساحت-تدامن توسط برخی از محققان [۱۲] پیشنهاد شده است، ولی بررسی منابع حاکی از عدم ارائه چنین منحنیهایی برای فراوانیهای مختلف است. به نظر می‌رسد که با تلفیق دسته منحنیهای IDF ناحیه‌ای و DAD می‌توان دسته منحنیهای IDFA را تهیه کرد.

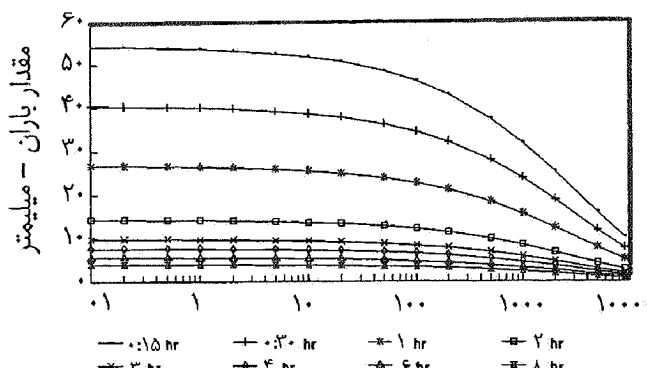
نحوه توزیع مکانی متوسط بارندگی برای رگبار شدید ۱۶ خداداد ۱۳۷۱ شهر مشهد در قالب معادله (۱) قابل ارائه است. ضرایب معادله هورتن در جدول (۲) آورده شده است. این معادله بیانگر رابطه نسبت متوسط بارش برروی مساحت معین به حداکثر بارش (که در کانون بارندگی اتفاق افتاده است) - توجه شود که این کانون مجازی است و یک بارندگی می‌تواند دارای بیشتر از یک کانون باشد) از یکطرف و مساحت موردنظر از طرف دیگر است. مایر و زهر [۱۱] مفهوم وابسته بودن نسبتهای تصحیح عمق-مساحت را به فراوانی وقوع پیشنهاد کرده‌اند. گرچه در شرایط حاصل درکشور نمی‌توان چنین نکته‌ای را به طور کامل نشان داد ولی برای مقایسه، نسبتها فوق در دو دوره بازگشت ۲ و ۱۰۰ سال در مدت تدامن



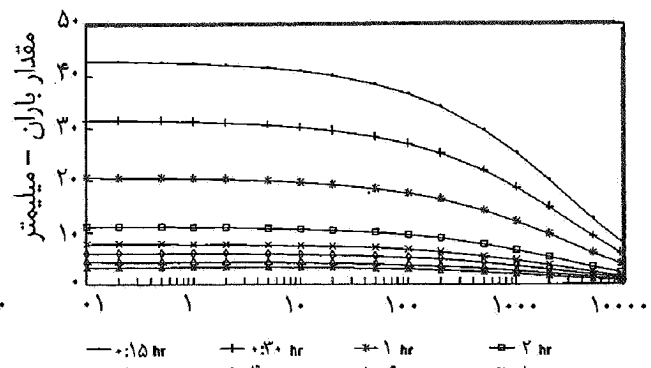
مساحت - کیلومتر مربع  
ب - دوره بازگشت ۵ سال



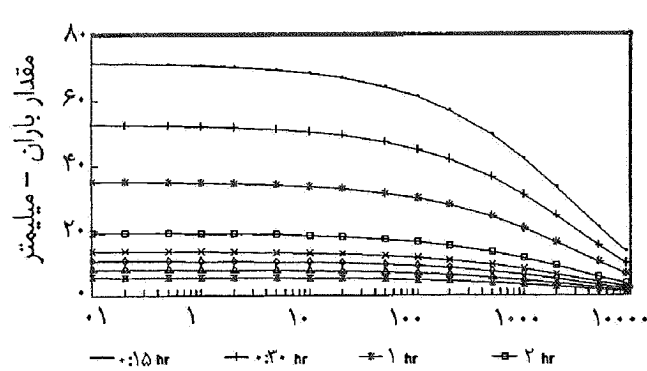
مساحت - کیلومتر مربع  
الف - دوره بازگشت ۲ سال



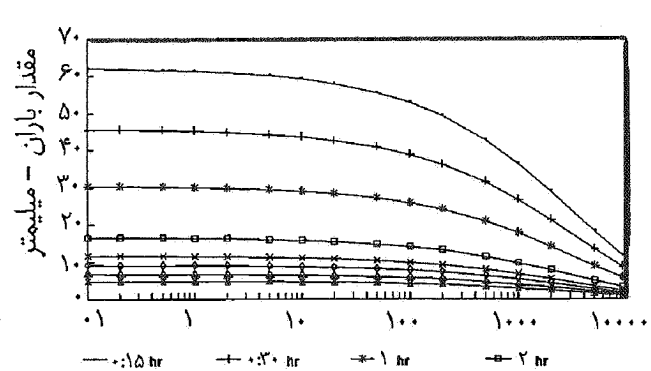
مساحت - کیلومتر مربع  
د - دوره بازگشت ۲۵ سال



مساحت - کیلومتر مربع  
ج - دوره بازگشت ۱۰ سال



مساحت - کیلومتر مربع  
و - دوره بازگشت ۱۰۰ سال



مساحت - کیلومتر مربع  
ه - دوره بازگشت ۵۰ سال

شکل ۷- دسته منحنیهای IDFA شهر مشهد

به آنها مانع از بررسی بیشتر در این زمینه می‌شود. امید است که در آینده با دردست داشتن آمارهای کاملتر، این نظریه مورد ارزیابی بیشتری قرار گیرد.

**سپاسگزاری**

بدین وسیله از معاونت محترم پژوهشی دانشگاه فردوسی مشهد بابت تقبل بخشی از هزینه‌های این تحقیق و همچنین مسئولان شرکت مهندسی مشاور آبپوی بابت دراختیار قراردادن آمار و اطلاعات مرجع [۱۷] قدردانی می‌شود.

الف- تهیه IDF معرف شهر مشهد با جمعبندی IDF سه ایستگاه باران‌سنج ثبات با خصوصیات مختلف (طول دوره آماری، پیوستگی آمار و اطلاعات، کیفیت ثبت و قایع) امکان‌پذیر است.

ب- IDF معرف شهر مشهد مستقر در کانون بارندگیهاست.  
ج- معادله هورتن برای تبیین معادله کاهش بارندگی با مساحت صادق است.  
د- کلیه بارندگیهای شدید (رگبار) دیگر نیز از توزیع مکانی و زمانی مشابه رگبار ۱۶ خرداد ۱۳۷۱ تبعیت می‌کنند.  
در حال حاضر کمیت و کیفیت آمارهای ثبت شده و همچنین دسترسی

## مراجع

- جهاد دانشگاهی دانشگاه خواجه نصیرالدین طوسی، واحد طرح و تحقیقات، ۱۳۷۰.
1. U.S. Weather Bur., "Manual for D-A-D Analysis of Storm Precipitation," U.S. Weather Bur. Coop. Studies, Tech. Paper 1, 1946.
  2. World Meteorological Organization (WMO), "Manual for Depth- Area- Duration Analysis of Storm Precipitation," No. 237, TP 129, 1969.
  3. Mutreja, N. K., *Applied Hydrology*, Tata McGraw-Hill, 1986.
  4. سازمان آب منطقه‌ای فارس، "خلاصه گزارش سیلاب آذرماه ۱۳۶۵،" امور مطالعات منابع آب، ص ۵۵.
  5. مهندسین مشاور تهران سحاب، "طرح سد ذخیره‌ای ساراوان، مطالعات مرحله اول، جلد دوم، هواشناسی و هیدرولوژی ورسوب،" ۱۳۷۳.
  6. سازمان تحقیقات منابع آب، "بارندگی شدید و رگبارها،" بولتن وضعیت منابع آب کشور (سال آبی ۷۱-۷۰)، وزارت نیرو، شماره ۷، ص ۲۳-۲ الی ۸-۲.
  7. اسحاقیان، ک.، "گزارش سیلاب مورخ ۱۶-۳-۷۱ مشهد،" امور مطالعات و بررسی منابع آب، شرکت سهامی آب منطقه‌ای خراسان، وزارت نیرو، ص ۱۱، ۱۳۷۱.
  8. قهرمان، ب. و رضائی پژند، ح.، "تجزیه و تحلیل رگبار ۱۶ خرداد ۱۳۷۱ مشهد، دسته منحنیهای DAD،" شهرداری مشهد، ص ۶۷، ۱۳۷۲.
  9. قهرمان، ب.، "تهیه منحنیهای ارتفاع- مساحت- تداوم باران خرداد ۱۳۷۱ مشهد،" معاونت پژوهشی دانشگاه فردوسی مشهد، گزارش نهایی طرح پژوهشی شماره ۱۳۵، ص ۸۰، ۱۳۷۵.
  10. وزیری، ف.، "تجزیه و تحلیل رگبارها در نقاط مختلف ایران،"
  11. Myers, V. A., and Zehr, R. M., "A Methodology for Point- to- Area Rainfall Frequency Ratios," NOAA Technical Report NWS 24, National Weather Service, NOAA, U.S. Department of Commerce, Washington, D.C., 1980.
  12. Linsley, R. K., Kohler, Jr., M. A. and Paulhus, J. L. H., *Applied Hydrology*, McGraw- Hill, 1949.
  13. قهرمان، ب.، "برخی از خصوصیات رگبار ۱۶-۳-۷۱ مشهد،" نیوار، شماره ۲۷، ص ۱۶-۳۹ و ۳۹-۴۷، ۱۳۷۴.
  14. Hershfield, D. M., and Wilson, W. T., "A Comparison of Extreme Rainfall Depth from Tropical and Non-Tropical Storms," *Journal of Geophysics Research*, Vol. 65, pp. 969-982, 1960.
  15. Pilgrim, D. H., Cordery, I., and French, R., "Temporal Patterns of Design Rainfall for Sydney," *Civ. Eng. Trans., I.E. Aust.*, CE11(1), 1969.
  16. علیزاده، ا.، "روابط شدت- مدت- تناوب بارندگی در مشهد،" علوم و صنایع کشاورزی، جلد ۸، شماره ۱، ص ۵۵-۶۶، ۱۳۷۳.
  17. سازمان هواشناسی کل کشور، "پروژه رقومی کردن رگبارهای ایران،" گزارش منتشر نشده، ۱۳۷۳.
  18. قهرمان، ب.، علیزاده، ا. و کمالی غ.، "بررسی جامع رگبارهای کوتاه‌مدت در مشهد،" نیوار، شماره ۲۸، ص ۶-۲۱ و ۹۴-۹۴، ۱۳۷۴.